

ANEXO: G.1

GRAFICA DE LA PCA PARA EL
CALCULO DE ESPESOR DE SUELO-
CEMENTO

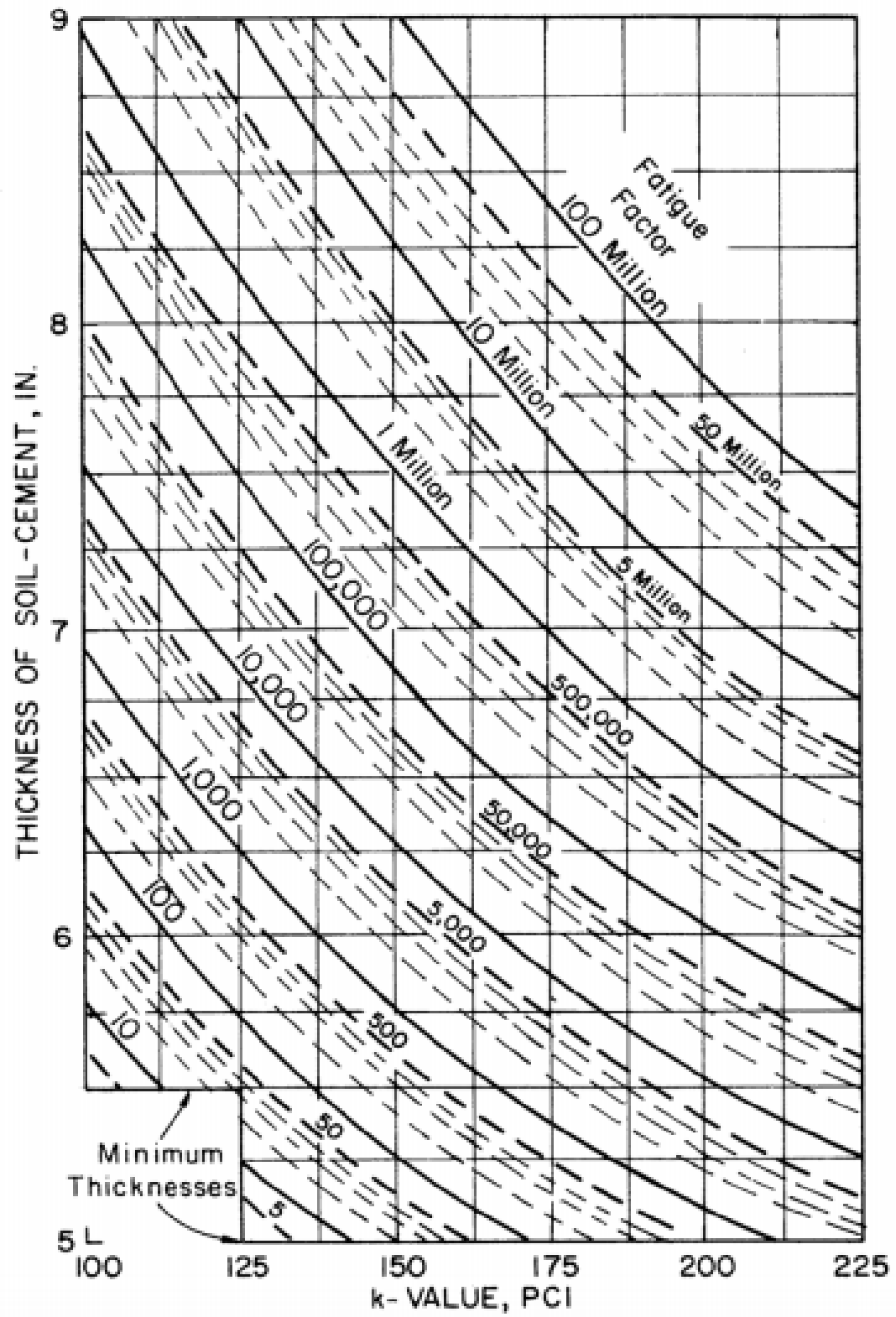


Figura 3. Carta para diseño de espesores para suelo-cemento granular.

ANEXO: G.2

**EFFECTO DE LA CALIDAD DE SUB-BASE
EN EL VALOR**

TABLA 8.8-1 EFECTO DE SUBBASES GRANULARES EN EL VALOR DE K

Valor Soporte de Subrasante		K Subbase (Mpa./m)			
CBR (%)	K (Mpa/m)	10 cm.	15 cm.	20 cm.	30 cm
2	16	19	22	27	33
3	24	27	31	37	45
4	30	34	38	44	54
5	34	38	42	49	55
6	38	42	46	53	65
7	41	45	50	56	69
8	44	48	53	60	72
9	47	52	56	63	76
10	49	54	58	65	79
11	51	56	60	67	81
12	53	58	62	69	84
13	54	59	63	70	85
14	56	61	65	72	87
15	57	62	66	73	88
16	59	64	68	75	91
17	60	65	69	76	92
18	61	66	70	77	93
19	62	67	71	78	94
20	63	68	73	79	96

Fuente: PCA BRASIL

TABLA 8.8-2 EFECTO DE SUBBASE DE SUELO CEMENTO EN EL VALOR DE K

Valor Soporte de Subrasante		K subbase (MPa./m)		
CBR (%)	K (Mpa/m)	10 cm.	15 cm.	20 cm.
2	16	50	66	89
3	24	69	91	122
4	30	81	108	145
5	34	90	119	160
6	38	98	130	174
7	41	103	138	185
8	44	109	146	195
9	47	115	153	205
10	49	119	158	212
11	51	122	163	218
12	53	126	168	225
13	54	128	171	229
14	56	131	176	235
15	57	133	178	239
16	59	137	183	245
17	60	139	185	248
18	61	140	188	251
19	62	142	190	255
20	63	144	192	258

Fuente: PCA BRASIL

TABLA 8.8-3 EFECTO DE SUBBASE DE SUELO MEJORADO CON CEMENTO
EN EL VALOR DE K

Valor Soporte de Subrasante		K subbase (MPa./m)		
CBR (%)	K (Mpa/m)	10 cm.	15 cm.	20 cm.
2	16	36	54	69
3	24	50	72	91
4	30	60	84	107
5	34	66	92	117
6	38	73	99	126
7	41	77	105	133
8	44	82	110	140
9	47	86	115	146
10	49	89	119	151
11	51	92	122	155
12	53	95	125	159
13	54	96	127	162
14	56	99	130	166
15	57	101	132	168
16	59	103	135	172
17	60	105	137	174
18	61	106	139	176
19	62	108	140	178
20	63	109	141	180

Fuente: PCA BRASIL

TABLA 8.8-4 EFECTO DE SUBBASE DE HORMIGON COMPACTADO
CON RODILLO EN EL VALOR DE K

Valor Soporte de Subrasante		K subbase (MPa./m)		
CBR (%)	K (Mpa/m)	10 cm.	12.5 cm.	15 cm.
2	16	65	77	98
3	24	87	101	126
4	30	101	118	145
5	34	111	128	158
6	38	120	138	169
7	41	127	145	177
8	44	133	152	186
9	47	140	159	194
10	49	144	164	199
11	51	148	168	204
12	53	152	173	209
13	54	154	175	211
14	56	158	179	216
15	57	160	182	219
16	59	164	186	224
17	60	166	188	226
18	61	168	190	229
19	62	170	192	231
20	63	172	194	233

Fuente: PCA BRASIL

ANEXO: G.3

GRAFICAS PARA EL CÁLCULO DEL
ESPESOR DE LA LOSA AASHTO 93

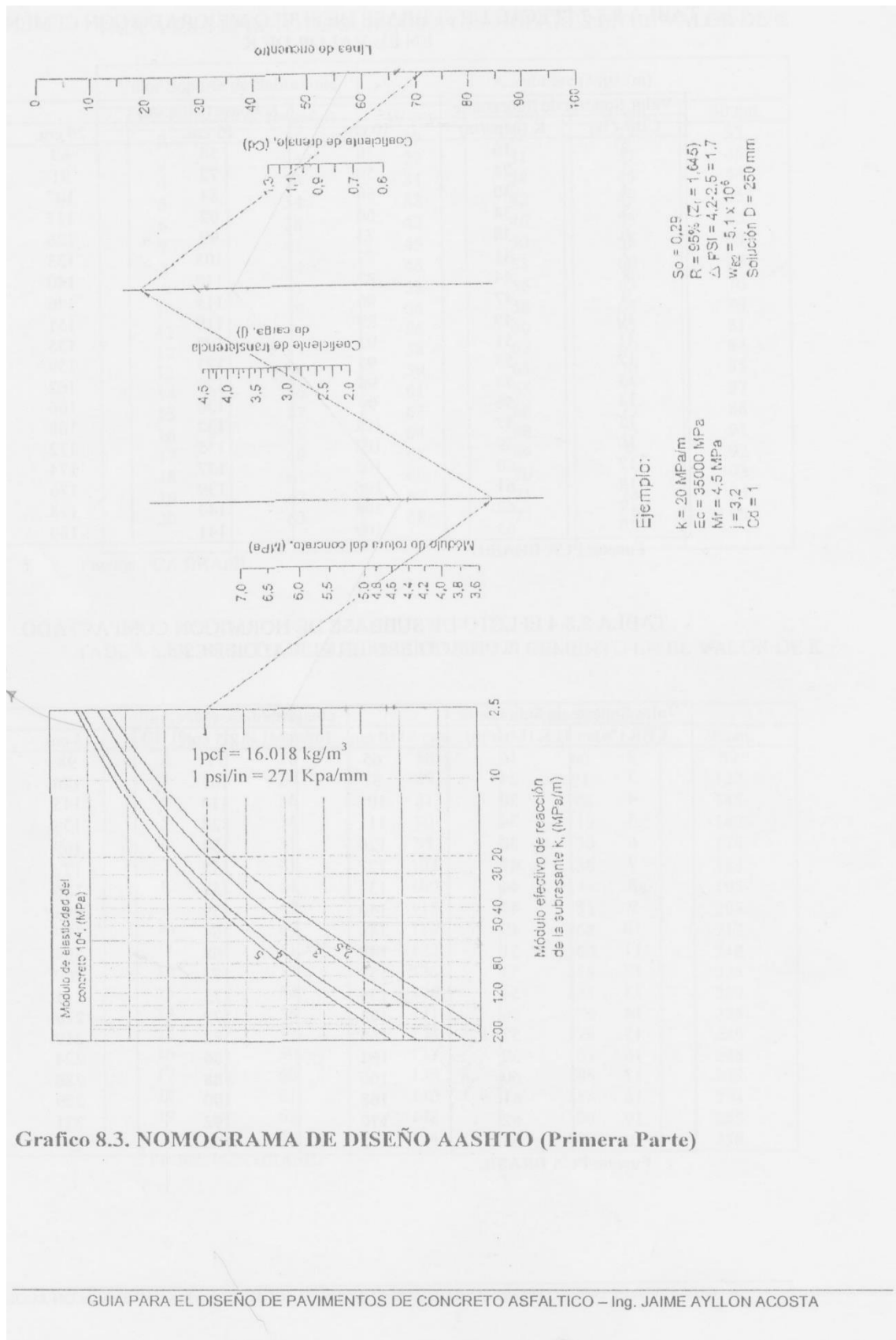


Grafico 8.3. NOMOGRAMA DE DISEÑO AASHTO (Primera Parte)

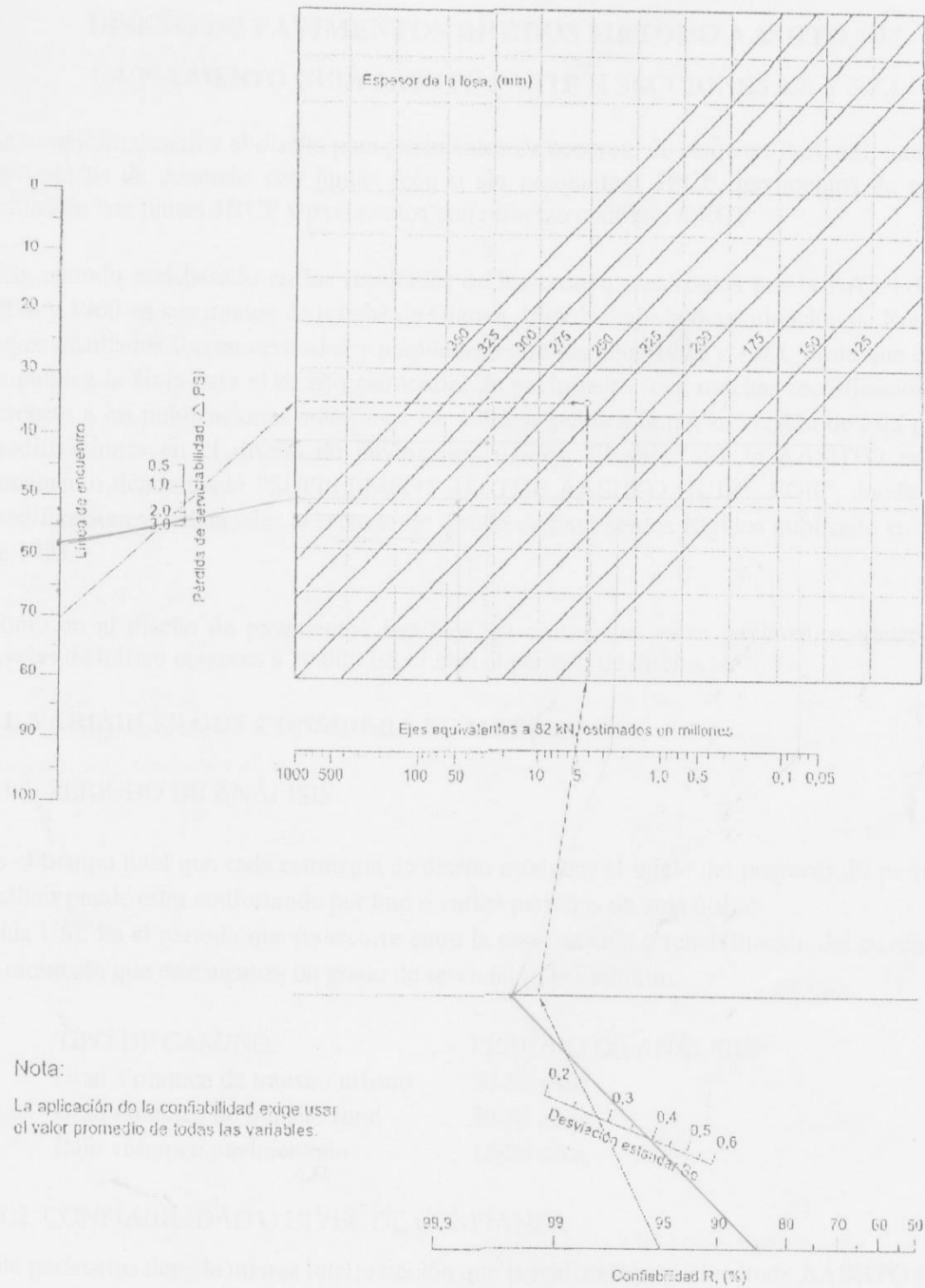


Grafico 8.4. NOMOGRAMA DE DISEÑO AASHTO (segunda Parte)